

Intelligente Sehsysteme

12 Klassifikation von 3D-Punkten

3D-Laserabstandsmessungen, Punktwolken
3D-Deskriptoren, RGB-D-Sensoren

Volker Steinhage

Inhalt

- Zur Klassifikation von Punkten aus 3D-Punktwolken von 3D-Laserscans
 - Sensor & Punktwolken
 - Nachbarschaftssuche
 - Normalenvektoren & Deskriptoren
- RGB-D-Punktwolken
- Zur Klassifikation von Punkten aus RGB-D-Punktwolken über *Deep Learning*

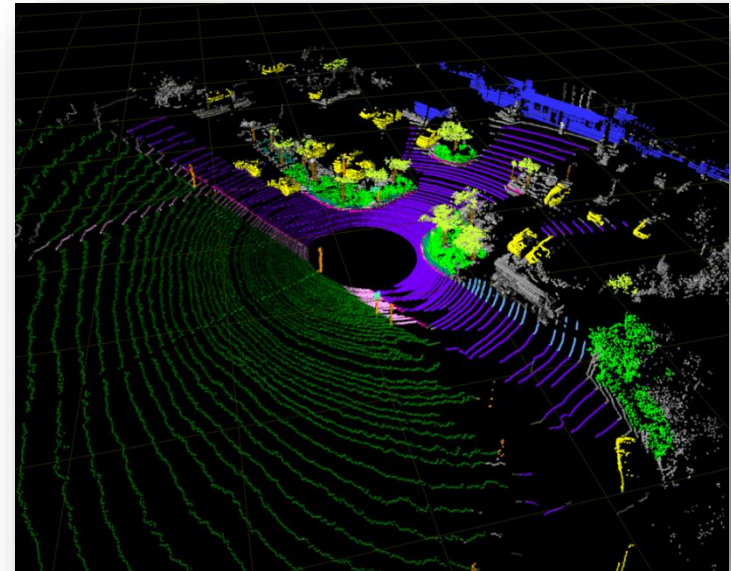
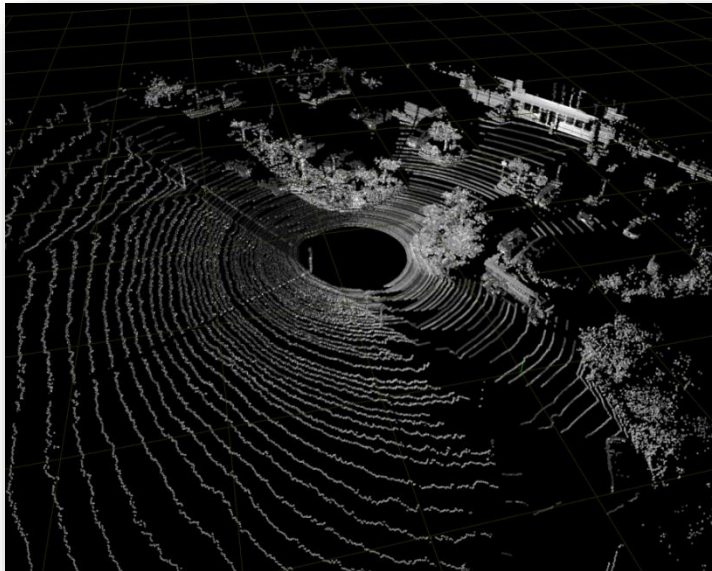
Zur Klassifikation von 3D Laserabstandsdaten

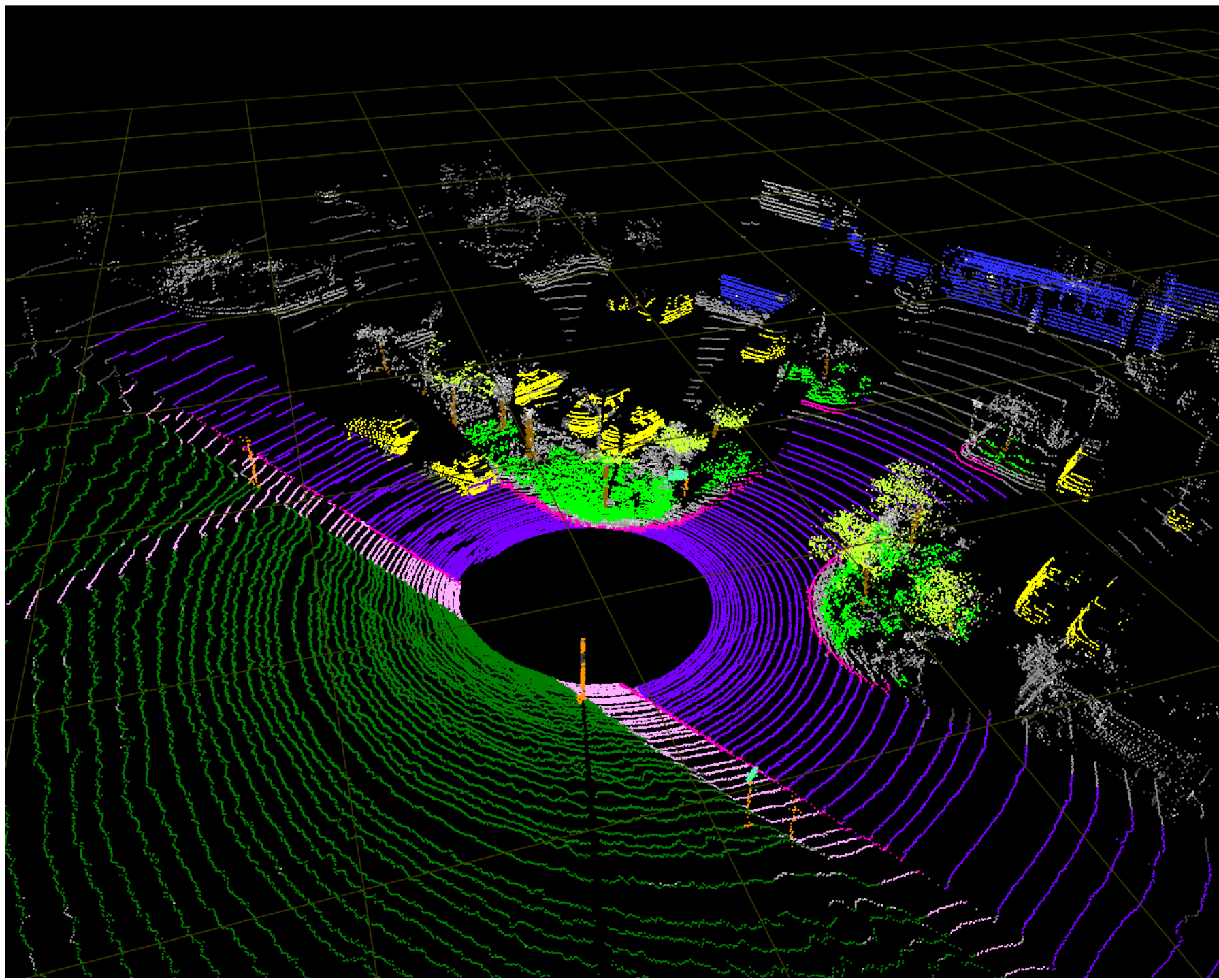
- Objekterkennung
 - Anwendungen: Robotik (Indoor/Outdoor), Fahrzeugassistentz, autonome Fahrzeuge
 - Klassen: Fußgänger, PKW, LKW, Busse
Motorrad- und Fahrradfahrer
 - Auch: befahrbares/nicht befahrbares Terrain,
Bordsteine, Fußgänger- und Fahrradwege
- Semantische Karten
 - Anwendungen: Autonome Exploration von
Gefahrengebieten
 - Klassen: Gebäude, KFZ, Vegetation, etc.



**Fokus hier: Punktklassifikation
für Objekterkennung**

Semantic Labeling in 3D Laser Scans





Ausrüstung

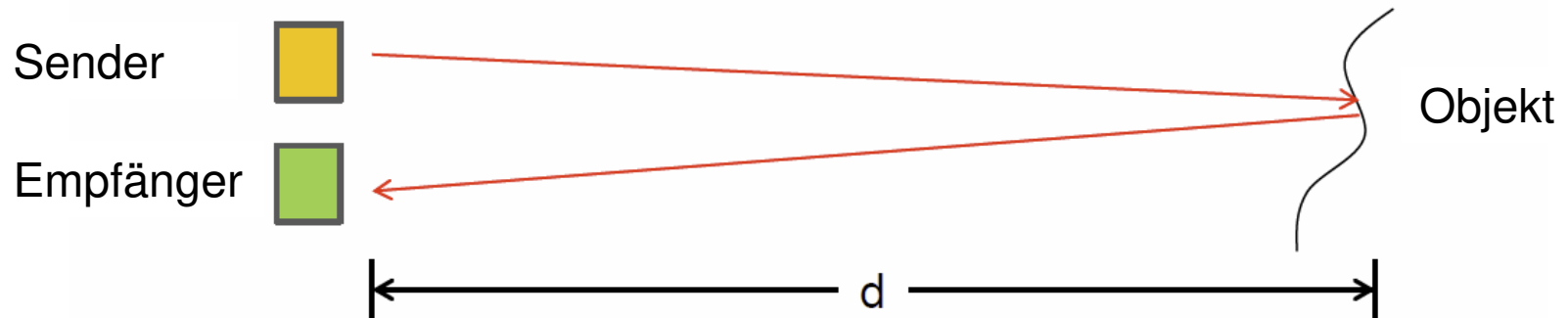
- QinetiQ Longcross mit inertialem Navigationssystem (INS)
- Velodyne HDL64-E (1.3 Million Datenpunkte, 5-15 Hz)



Slide credits for slides 4 - 22: Jens Behley, Institut für Informatik, Univ. Bonn

Abstandsmessung

- Abstandsmessung: Zeitmessung zwischen Sendung und Empfang von Laserstrahl bzw. dessen Reflektion (*time-of-flight*)



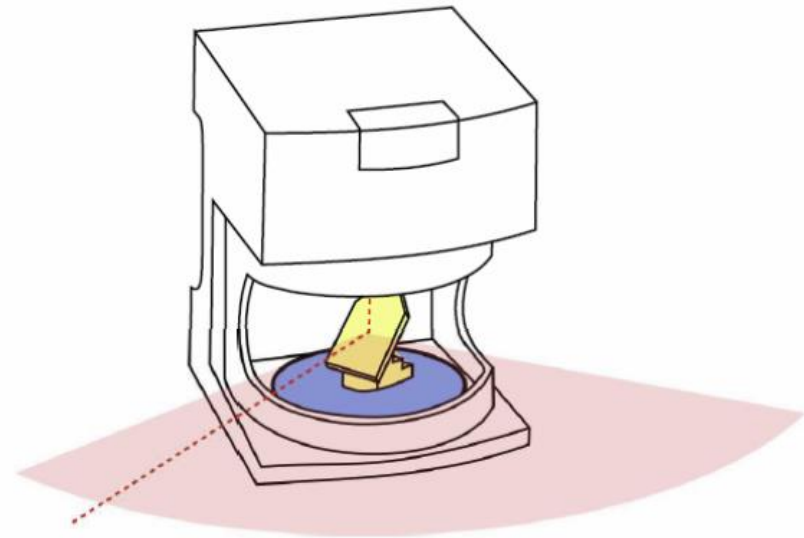
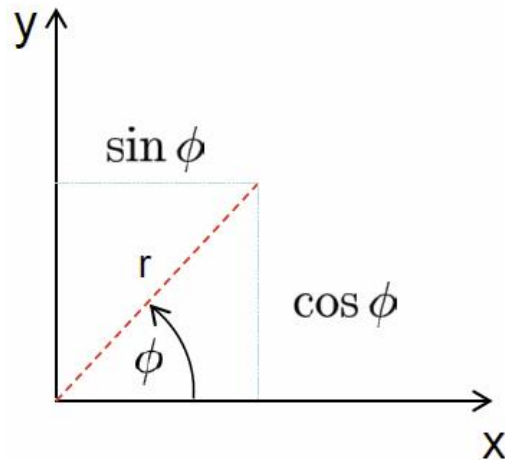
- Abstand d bei *time-of-flight* t_f und Lichtgeschwindigkeit c :

$$d \approx \frac{1}{2} t_f \cdot c$$

2D-Laserabstandssensoren

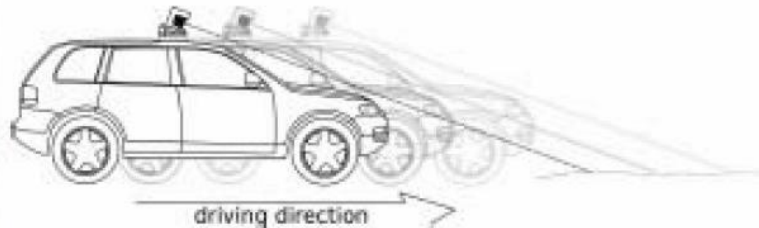
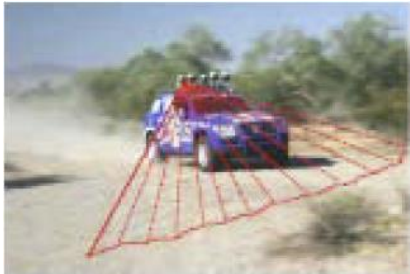
- Drehender Spiegel erzeugt Abtastebene
- Kartes. Koordinaten relativ zum Sensor aus Winkel ϕ und Abstand r ableitbar:

$$\begin{pmatrix} x \\ y \end{pmatrix} = \begin{pmatrix} r \cdot \cos \phi \\ r \cdot \sin \phi \end{pmatrix} \quad (\text{polar coordinates})$$



Von 2D- zu 3D-Laserabstandsmessung

- Bewegung der Plattform selbst

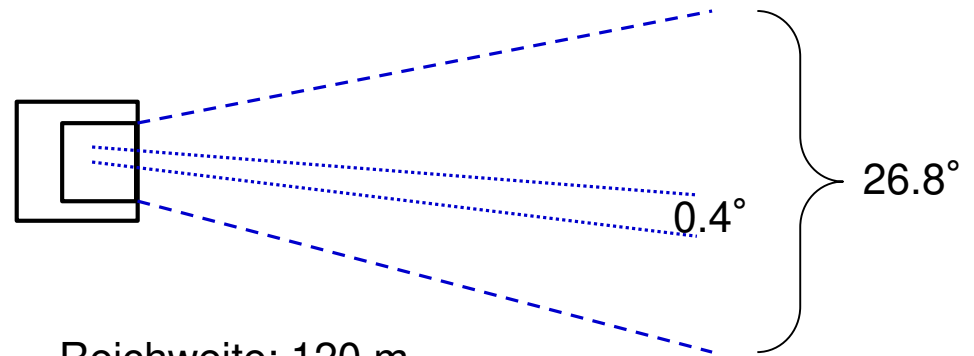


- Neigung des Sensors in gewünschte Richtung
 - Plattform kann fix bleiben
 - i.A. langsam (wg. Stop/Motion)
- Rotation des Sensors in gewünschte Richtung
 - Plattform kann fix bleiben
 - Ständige Rotation, daher kein Stop/Motion
 - Bevorzugte Installation



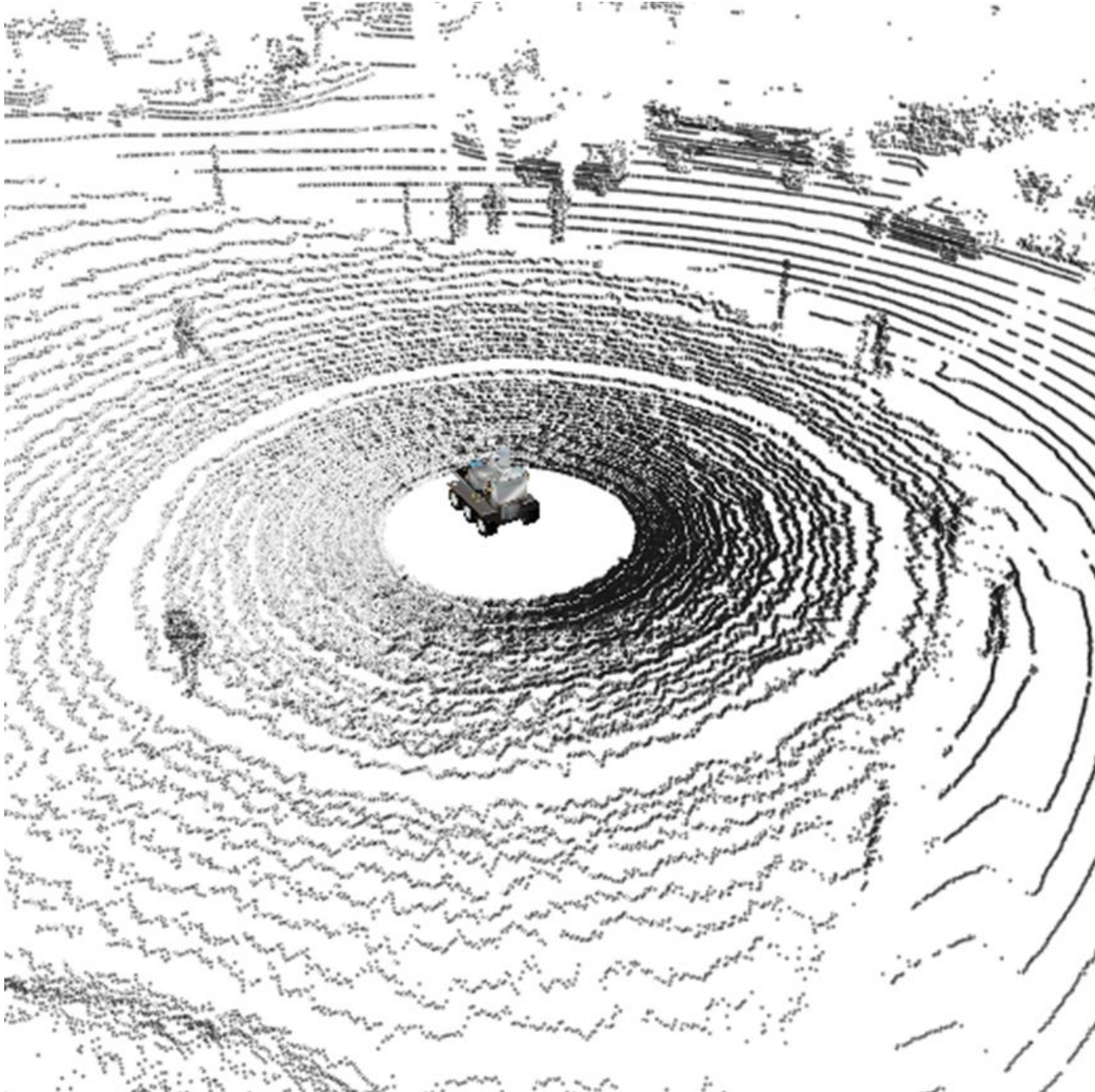
Velodyne HDL-64E (Daten)

- Ca. 1.3 Million Laserabstandsmessungen pro Sekunde
- 64 Laserstrahlen erzeugen eine Messebene
- Bis zu 15 Hz, d.h., Umdrehungen pro Sekunde

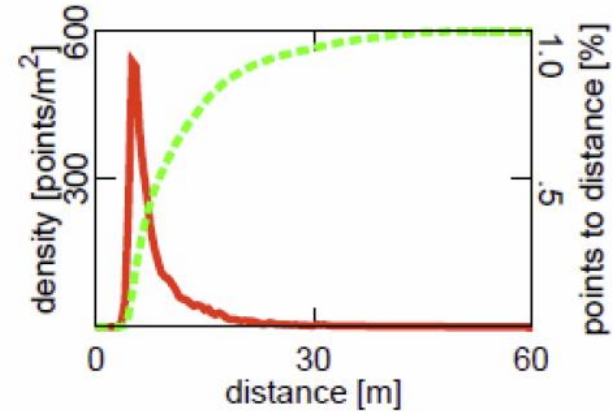
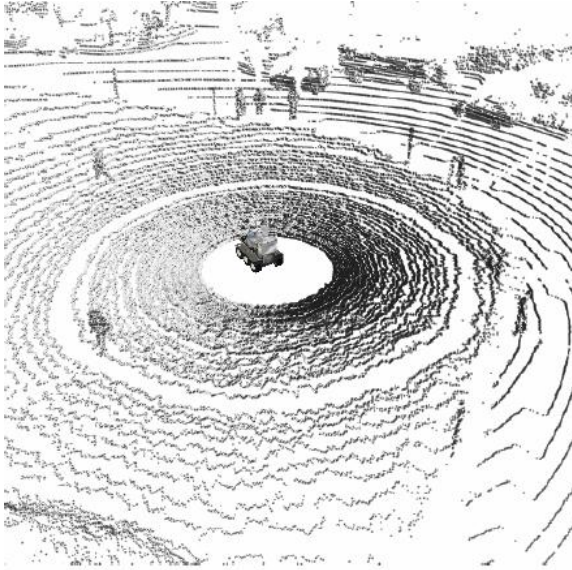


Reichweite: 120 m
Vertikale Auflösung: $\sim 0.4^\circ$
Vertikales Sichtfeld: 26.8°
Horizontale Auflösung: $\sim 0.09^\circ$
Horizontales Sichtfeld: 360°

Velodyne HDL-64E (Prinzip)



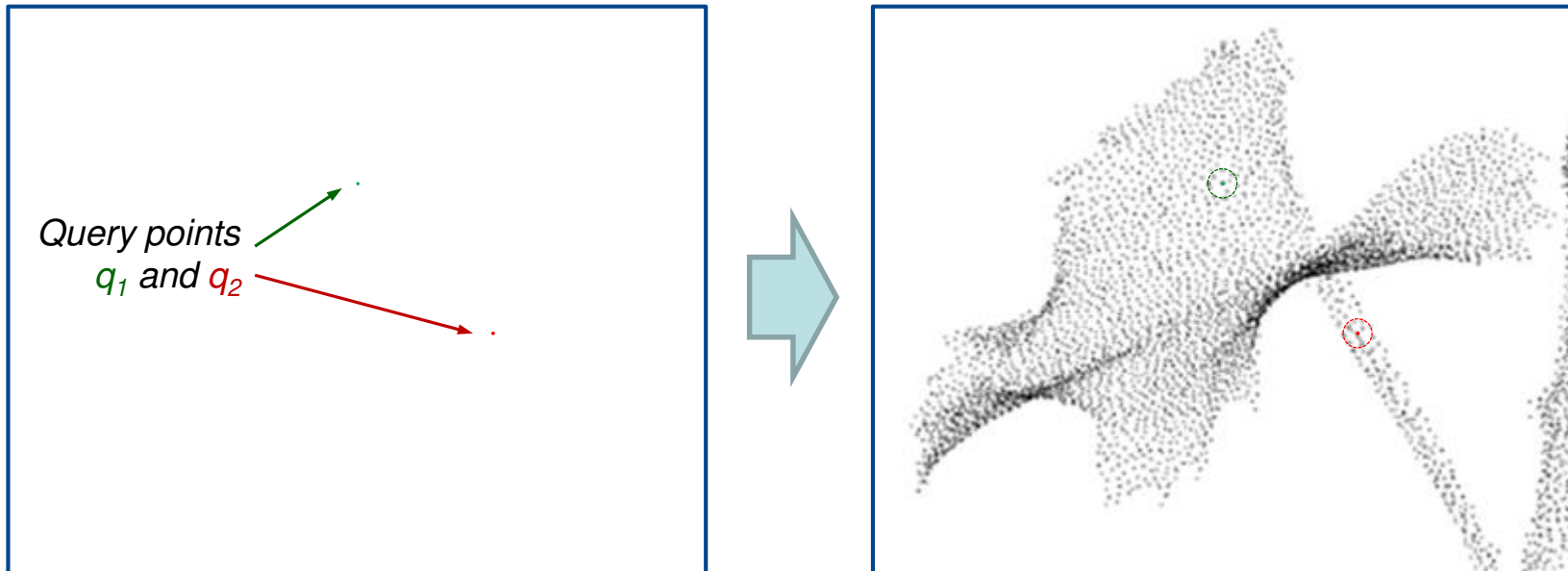
Punktwolken



- Punktwolke = ungeordnete Menge von 3D-Punkten $\mathcal{P} = \{\mathbf{p} \in \mathbb{R}^3\}$
- Sehr hohe Punktezahlen \rightarrow Effizienz
- Distanzabhängige Punktdichte \rightarrow Robustheit

Nachbarschaftsinformation

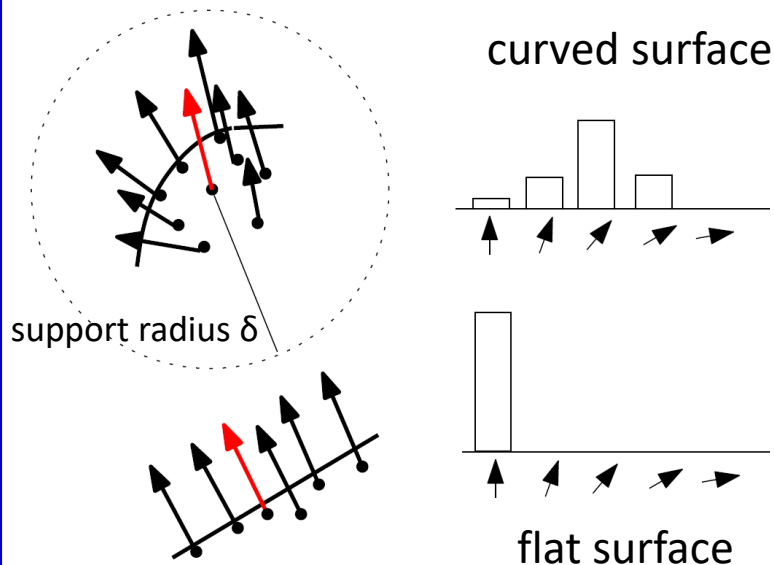
- Einzelne 3D-Punkte tragen keine Information



→ Lokale Nachbarschaft ist für Interpretation notwendig

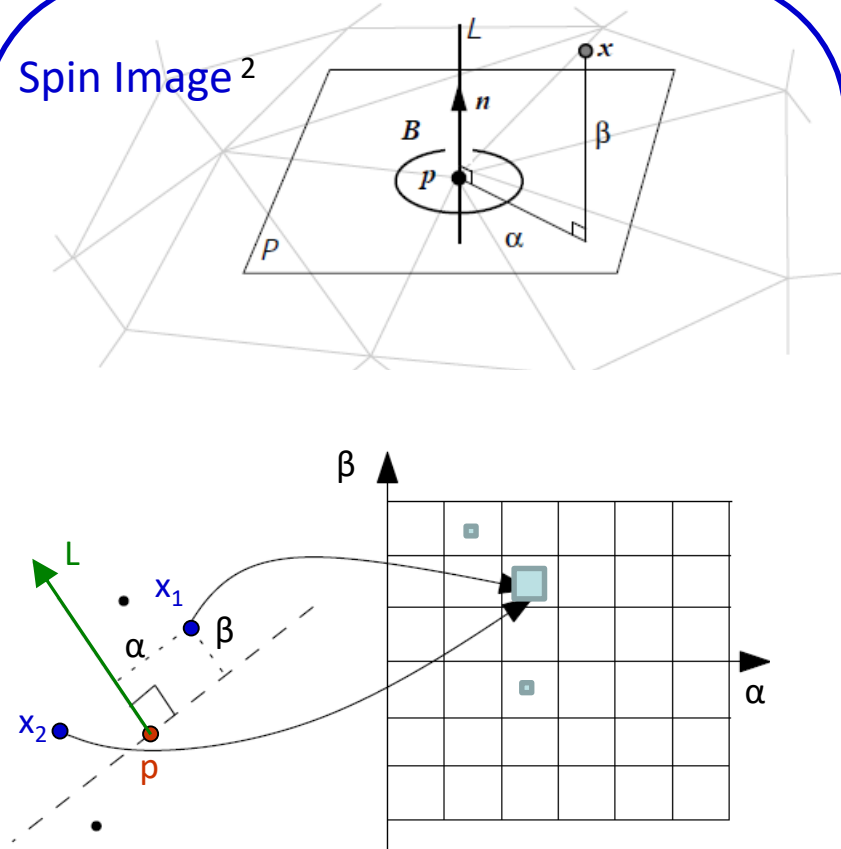
Histogramm-basierte Deskriptoren: Beispiele

Normal Orientation Histogram¹



- normal orientation around query point
- spatial distribution of points lost

Spin Image²



- 2d histogram by line/plane distances
- rotational invariant about ref. axis

1.Triebel et al. *Robust 3D Scan Point Classification using Associative Markov Networks*, ICRA, pp. 2603—2608, 2006.

2.Johnson, Hebert. Using spin images for efficient object recognition in cluttered 3D scenes. *TPAMI*, 21(5), pp. 433—449, 1999.

Nachbarschaftsinformation

- Aufgabe: Finden aller Nachbarpunkte zu einem Anfragepunkt (*query point*) \mathbf{q} innerhalb einer Umgebung mit festem Radius r :

$$\textbf{Fixed-radius neighbors: } \mathcal{N}(\mathbf{q}, r) = \{\mathbf{p} \in \mathcal{P} \mid \|\mathbf{p} - \mathbf{q}\| < r\}$$

- Exhaustive Suche:
 - Iteration durch alle Punkte und Finden der Punkte in $\mathcal{N}(\mathbf{q}, r)$
 - Lineare Zeitkomplexität $O(N)$ in der Zahl N der Punkte in $\mathcal{N}(\mathbf{q}, r)$

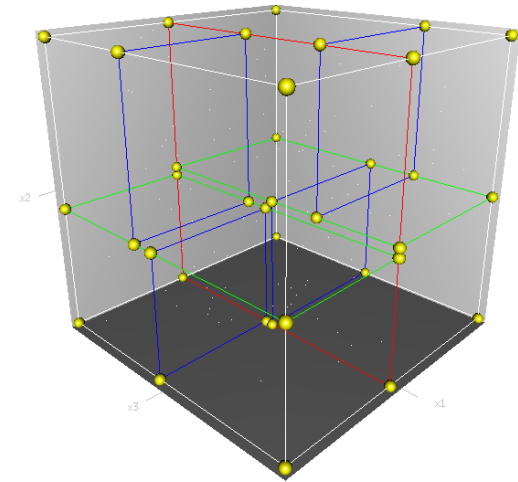
Nachbarschaftsinformation

Idee:

- Minimierung der Vergleiche: $\mathbf{p} \in \mathcal{N}(\mathbf{q}, r)$
- Partitionierung des 3D-Raums um schnell irrelevante Raumanteile für die Anfrage zu identifizieren
- Verschiedene Ansätze sind bekannt
 - hier: k -d Bäume
 - Einfache Implementierung
 - Effizient für *3D fixed-radius nearest neighbor*

k-d-Baum

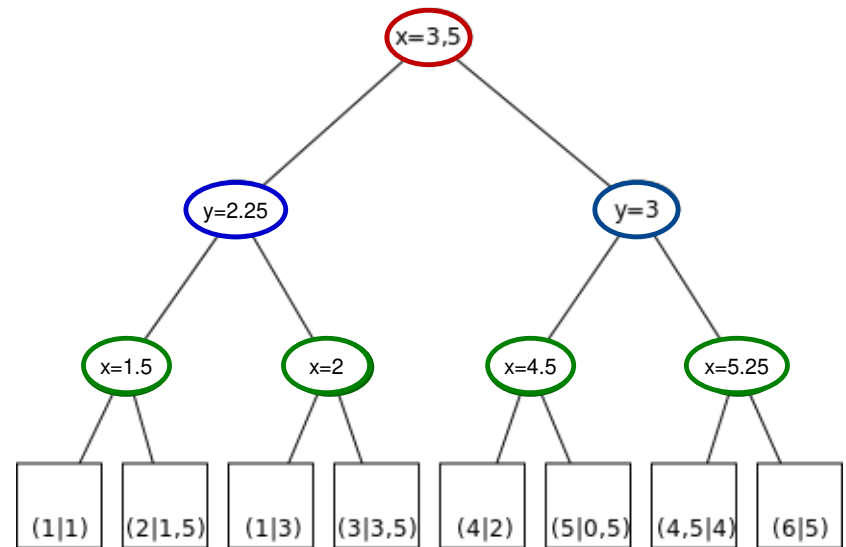
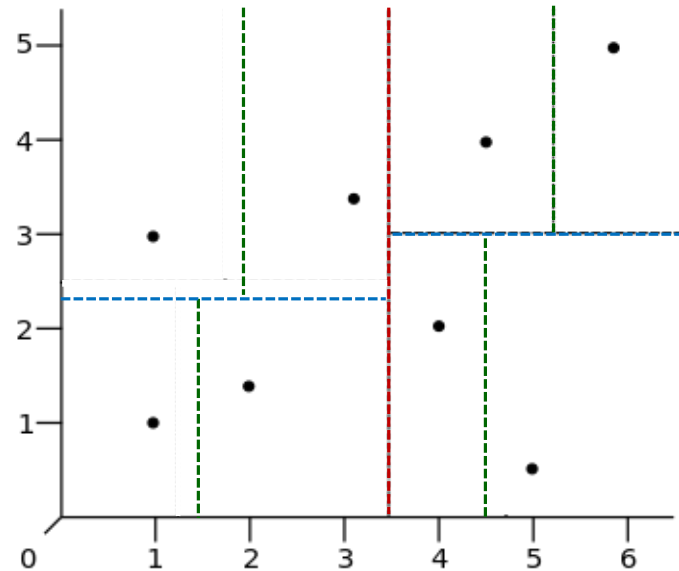
- Ein *k-dimensionaler Baum* oder *k-d-Baum* ist ein binärer Baum
- Jeder Blattknoten repräsentiert einen *k-dimensionalen Punkt*
- Jeder innere Knoten ist mit einer Dimension k_i der k Dimensionen und einer $(k-1)$ -dim. Hyperebene, die orthogonal zur entspr. Dimensionsachse verläuft, assoziiert.
- Jede Hyperebene erzeugt zwei Halbräume
 - Punkte, deren Wert (bzgl. Dimension k_i) kleiner oder gleich dem Positionswert der Hyperebene sind, werden dem einen Halbraum zugeordnet und im linken Teilbaum repräsentiert.
 - Alle anderen Punkte werden dem anderen Halbraum zugeordnet und im rechten Teilbaum repräsentiert.



k-d-Baum: Konstruktion informell

Kanonische Methode:

- Aufbau über schrittweises und zyklisches Besuchen jeder Dimension
- Innere Knoten: Positionierung der neuen trennenden Hyperebene im Median aller Punkte des entspr. Teilbaums bezogen auf die aktuelle Dimensionsachse
- Blattknoten sind solche mit nur einem Punkt
- Resultat ist ein balancierter k-d-Baum



k-d-Baum: Konstruktion als Pseudocode

Kanonische Methode:

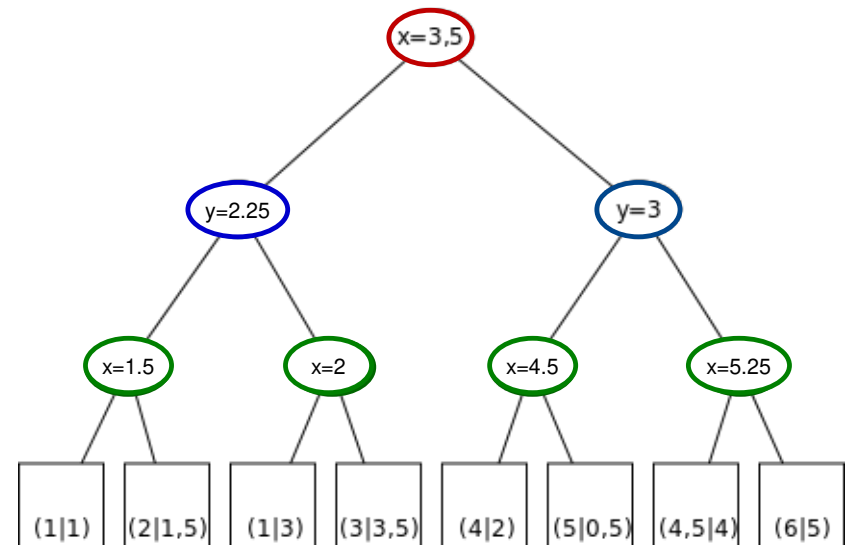
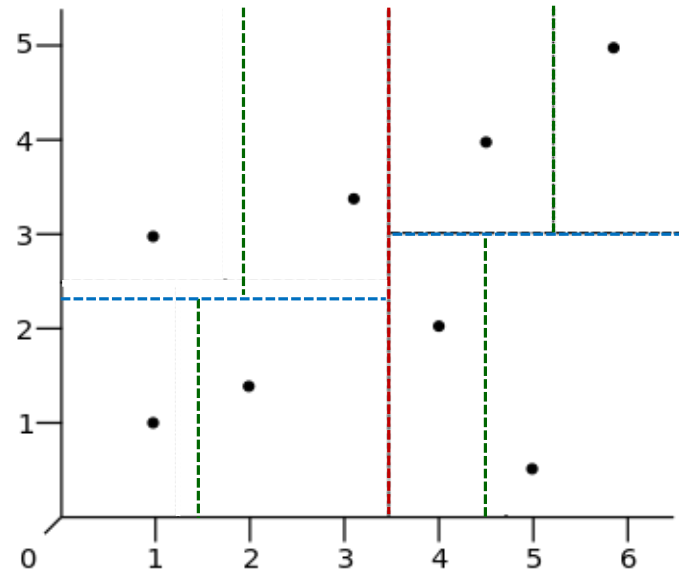
```
function kdtree (list of points pointList, int depth)
{
if | pointList | = 1 then return leaf node with that point
  // Select axis based on depth so that axis cycles through all valid values
  var int axis := depth mod k; // k = dimension of points
  // Sort point list and choose median as pivot element
  select median by axis from pointList;
  // Create node and construct subtrees
  var tree_node node;
  node.location := median;
  node.leftChild := kdtree(points in pointList before median, depth+1);
  node.rightChild := kdtree(points in pointList after median, depth+1);
  return node;
}
```

Berechnung des Median:
bei gerader Anzahl von
Punkten wird der Median
als Mittelwert der beiden
mittleren Werte der
sortierten Daten gewählt
(wie im Bspl.)

k-d-Baum: Komplexität für Konstruktion

Kanonische Methode:

- Speicher: $O(n)$
- Tiefe: $O(\log n)$
- Zeit: $O(n \log n)$

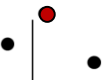


***k*-d-Baum: Nächste-Nachbar-Suche (Algm.)**

Ziel: *Pruning* von großen Teilbäumen bei Zeitkomplexität $O(\log n)$:

Geg.: Anfragepunkt (*query point*) \mathbf{q}

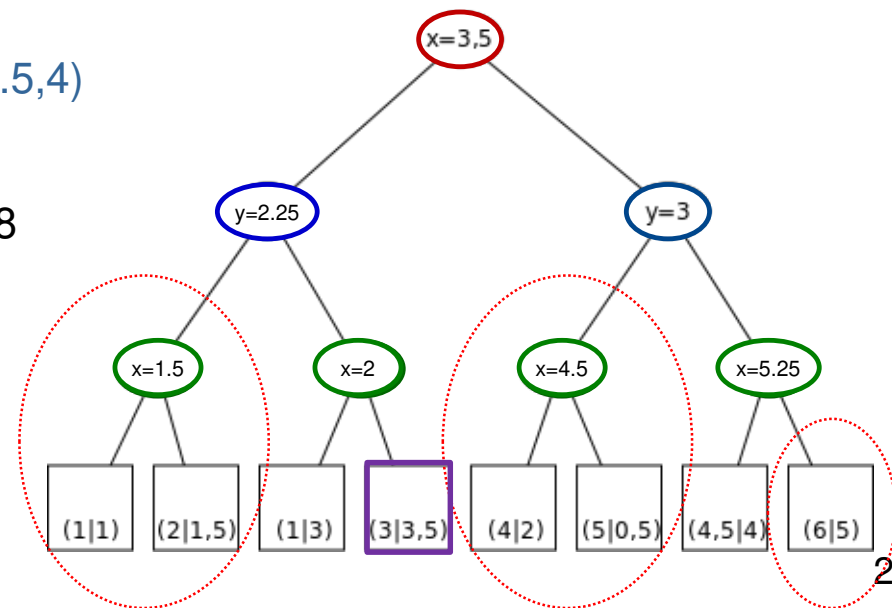
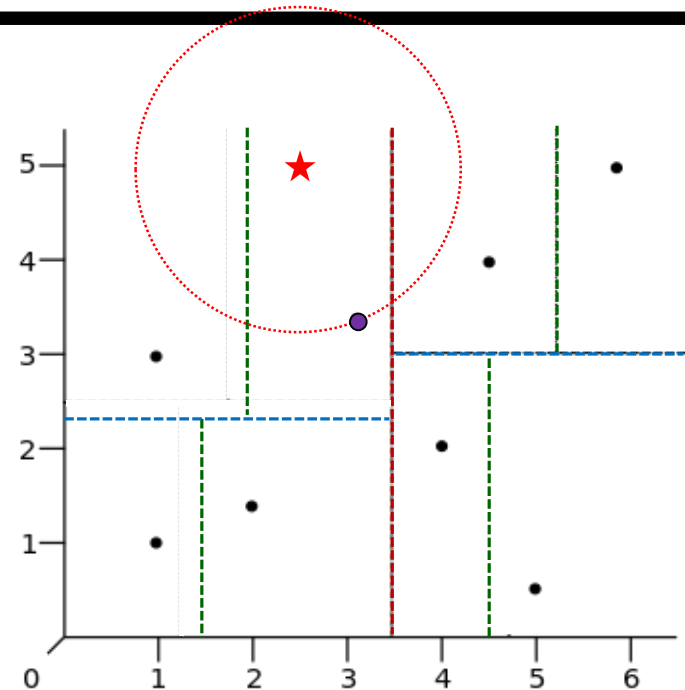
- (1) Start mit Wurzelknoten \mathbf{r} und großem Startwert d_M für minimale Distanz d
- (2) Baumabstieg (in linken/rechten Teilbaum, wenn entspr. Dimensionswert von $\mathbf{q} \leq$ bzw. $>$ der Position der trennenden Hyperebene ist) bis zum Erreichen eines Blattknotens mit einem Punkt \mathbf{c}
- (3) Wenn $d' = \text{dist}(\mathbf{q}, \mathbf{c}) < d$ dann $d \leftarrow d'$ und Speichern von \mathbf{c} als aktuellem nächsten Nachbarn \mathbf{b} mit Distanz d
- (4) Baumaufstieg mit Überprüfung der Vorgängerknoten von \mathbf{b} ob die Distanz d_H der jeweiligen trennenden Hyperebene H zu \mathbf{q} kleiner ist als d :
Wenn $d_H < d$ dann gehe zu (2) mit Wahl des anderen Teilbaums



k-d-Baum: Nächste-Nachbar-Suche (Bsp.)

Query point $\mathbf{q} = (2.5, 5)$, $d=10$

- Baumabstieg: $2.5 < 3.5$, $5 > 2.25$, $2.5 > 2$
 $\rightarrow \mathbf{c} = (3, 3.5) \rightarrow \mathbf{b} = (3, 3.5)$ mit $d = 1.58$
- Baumaufstieg: $\text{dist}(\mathbf{q}, (x = 2)) = 0.5 < 1.58$
 \rightarrow Baumabstieg: $\mathbf{c} = (1, 3)$
 $\text{dist}(\mathbf{q}, \mathbf{c}) = 2.50 \leadsto \mathbf{b}$ bleibt $(3, 3.5)$
- Baumaufstieg: $\text{dist}(\mathbf{q}, (y = 2.25)) = 2.75 > 1.58$
 $\leadsto \mathbf{b}$ bleibt $(3, 3.5)$
- Baumaufstieg: $\text{dist}(\mathbf{q}, (x = 3.5)) = 1 < 1.58$
 \rightarrow Baumabstieg: $5 > 3$, $2.5 < 5.25 \rightarrow \mathbf{c} = (4.5, 4)$
 $\text{dist}(\mathbf{q}, \mathbf{c}) = 2.23 \leadsto \mathbf{b}$ bleibt $(3, 3.5)$
- Baumaufstieg: $\text{dist}(\mathbf{q}, (x = 5.25)) = 2.75 > 1.58$
 $\leadsto \mathbf{b}$ bleibt $(3, 3.5)$
- Baumaufstieg: $\text{dist}(\mathbf{q}, (y = 3)) = 2 > 1.58$
 $\leadsto \mathbf{b}$ bleibt $(3, 3.5)$



***k*-d-Baum: Bereichssuche (Bsp.)**

Deskriptoren basieren häufig auf *allen* Punkten innerhalb einer bestimmten Nachbarschaftsumgebung mit sog. *support radius* r .

→ rekursive *Range query* oder *Range search* startend mit v = Wurzelknoten und Hypersphäre S mit Radius r um Anfragepunkt q :

RSearch(v, r):

```
if  $v$  is a leaf then report the point stored in  $v$  if it lies in  $S$ 
else if Region( $v$ ) is contained in  $S$  then report all points in the subtree of  $v$ 
else if Region(left( $v$ )) intersects  $S$  then RSearch(left( $v$ ),  $S$ )
    If Region(right( $v$ )) intersects  $S$  then RSearch(right( $v$ ),  $S$ )
```

- Mit $Region(v)$ = Unterraum, der einem innerem Knoten v entspricht
- Zeitkomplexität: $O(k \cdot n^{(1 - 1/k)})$ bei k Dimensionen und n Punkten *

* Lee, D. T.; Wong, C. K. (1977). "Worst-case analysis for region and partial region searches in multidimensional binary search trees and balanced quad trees". Acta Informatica 9

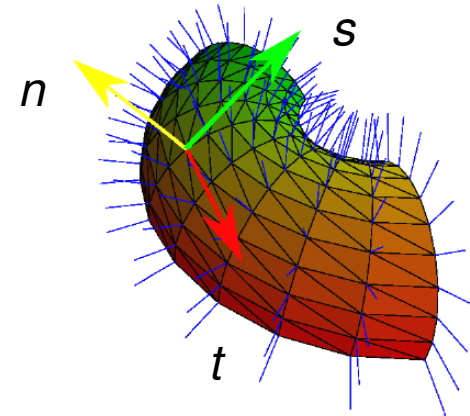
Schätzung der Normalen

- Deskriptoren u.a. Punktwolkenoperationen nutzen Normalenvektoren

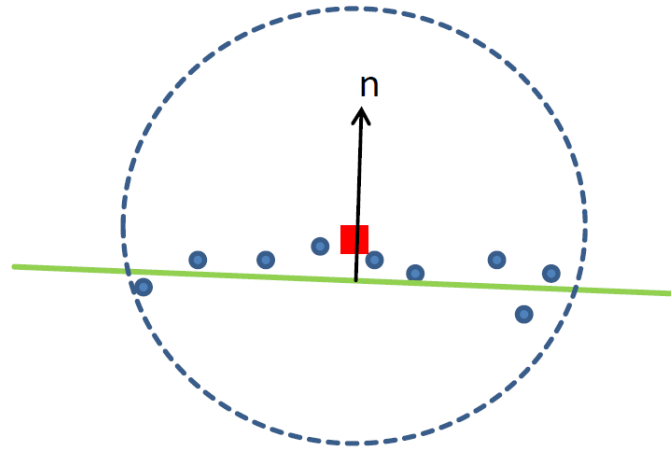
- Normalenvektoren sind orthogonal zur Oberfläche orientiert und als Vektorprodukt aus Tangentialvektoren **s** und **t** ableitbar:

$$\mathbf{n} = \mathbf{s} \times \mathbf{t}$$

- Für Punktwolken sind Dreiecksnetze (triangular mesh) und Tangentialvektoren **s**, **t** nicht generell trivial ableitbar
- Eine Option ist dann die direkte Schätzung von Normalenvektoren aus den Punkten lokaler Nachbarschaften



Schätzung durch lokale Ebenenapproximation (1)



- Idee: Finde Ebene E, welche die Distanzen zu den Punkten in der Nachbarschaft von Anfragepunkt \mathbf{q} minimiert
- Zur Schätzung des Normalenvektors \mathbf{n} von Ebene E in \mathbf{q} wird die Hessische Normalform genutzt:

$$\mathbf{n}^T \cdot \mathbf{p} - d = 0 \text{ mit } \|\mathbf{n}\|^2 = 1$$

- Zur Erinnerung: die (orientierte) Distanz $d(\mathbf{p}, E)$ eines Punkts \mathbf{p} zur Ebene E:

$$d(\mathbf{p}, E) = \mathbf{n}^T \cdot \mathbf{p} - d$$

Schätzung durch lokale Ebenenapproximation (2)

- Ziel: Finde Ebene E mit Normalenvektor \mathbf{n} , $\|\mathbf{n}\|^2 = 1$, und Skalar d , welche die Summe der Distanzen $d(\mathbf{p}_i, E)$, $\mathbf{p}_i \in \mathcal{N}(\mathbf{q}, r)$ für Anfragepunkt \mathbf{q} minimiert:

$$\min_{\mathbf{n}, d} 1/k \cdot \sum_i \|\mathbf{n}^\top \cdot \mathbf{p}_i - d\|^2, \quad i = 1, \dots, k$$

$$\text{mit } \|\mathbf{n}\|^2 = 1 \text{ und } k = |\mathcal{N}(\mathbf{q}, r)|$$

- Lösung durch Hauptkomponentenanalyse auf Basis der Kovarianzmatrix über den nächsten Nachbarn des Anfragepunktes \mathbf{q}

Schätzung durch lokale Ebenenapproximation (3)

Genauer:

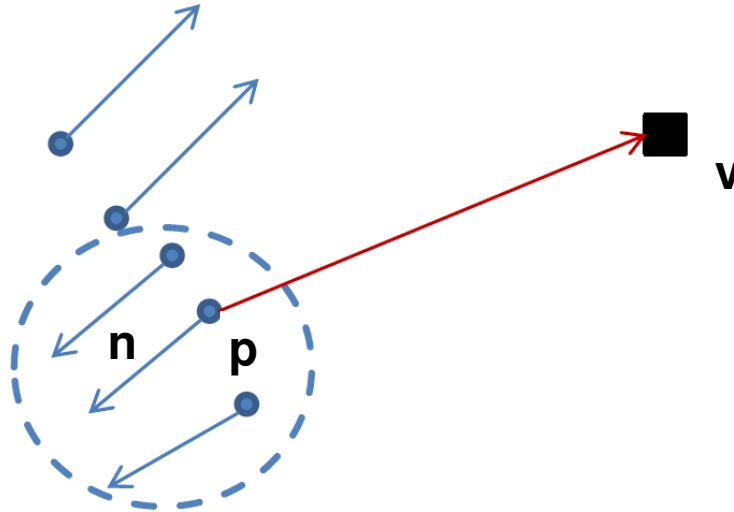
- Für jeden Anfragepunkt \mathbf{q} Erzeugung der Kovarianzmatrix \mathbf{C} über allen Nachbarpunkten $\mathbf{p}_i, \mathbf{p}_i \in \mathcal{N}(\mathbf{q}, r)$:

$$\mathbf{C} = 1/k \cdot \sum_i (\mathbf{p}_i - \mathbf{p}_m)^\top (\mathbf{p}_i - \mathbf{p}_m) = 1/k \cdot \sum_i \mathbf{p}_i \cdot \mathbf{p}_i^\top - \mathbf{p}_m \cdot \mathbf{p}_m^\top$$

mit Mittelwert $\mathbf{p}_m = 1/k \cdot \sum_i \mathbf{p}_i$ für $k = |\mathcal{N}(\mathbf{q}, r)|$

- \mathbf{C} ist per Def. positiv semidefinit und symmetrisch
 - Eigenwerte kodieren Varianzen in Richtung der Eigenvektoren
 - Schätzung des Normalenvektors als Eigenvektor mit kleinstem Eigenwert minimisiert die quadratische Abweichung

Konsistente Normalenorientierung



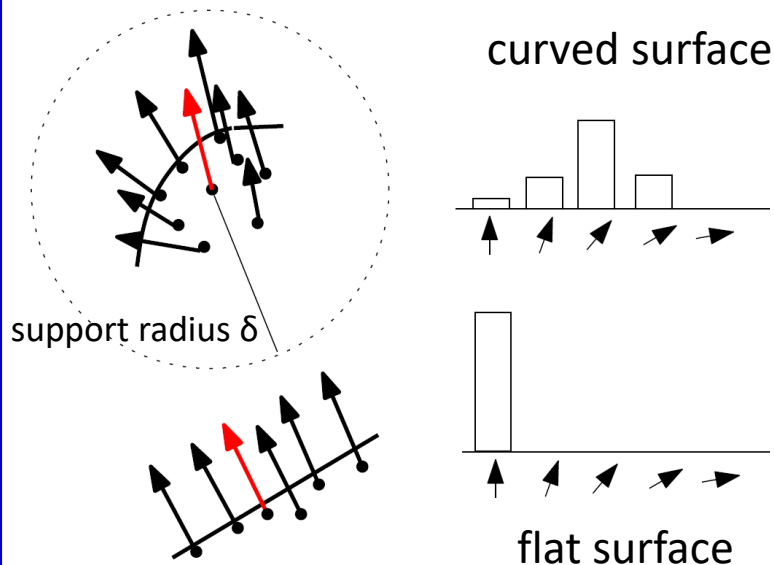
- **Problem:** Orientierung der Eigenvektoren ist ggf. nicht konsistent

- **Lösung** bei bekannten Beobachtungspunkt \mathbf{v} :

Umkehrung des Normalvektors $\mathbf{n}' = -\mathbf{n}$ von Punkt \mathbf{p} , wenn $\mathbf{n}^T \cdot (\mathbf{v} - \mathbf{p}) < 0$
d.h.: Winkel zw. Vektor $\mathbf{v} - \mathbf{p}$ und Normalen \mathbf{n} ist größer als 90°

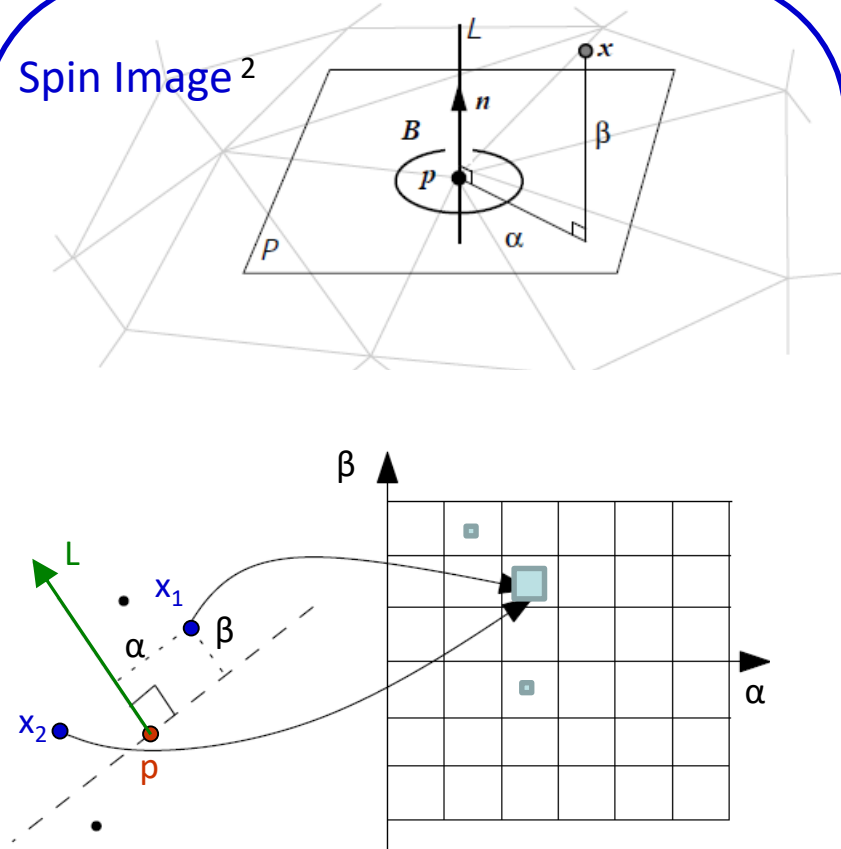
Histogramm-basierte Deskriptoren: Wiederholung

Normal Orientation Histogram ¹



- normal orientation around query point
- spatial distribution of points lost

Spin Image ²



- 2d histogram by line/plane distances
- rotational invariant about ref. axis

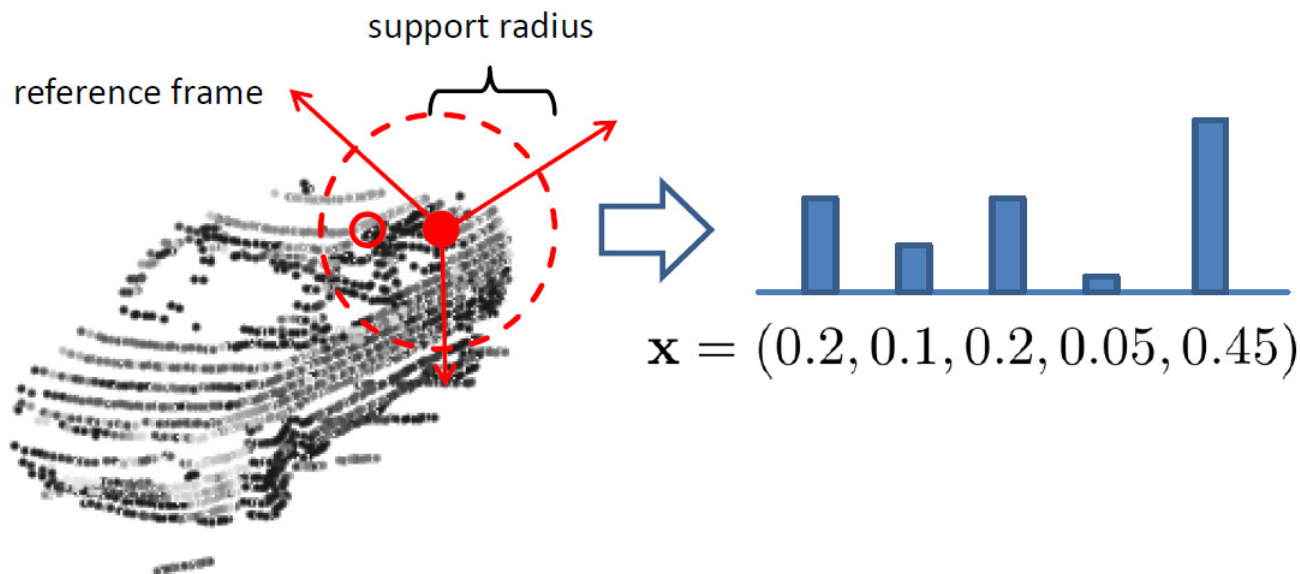
1. Triebel et al. *Robust 3D Scan Point Classification using Associative Markov Networks*, ICRA, pp. 2603—2608, 2006.

2. Johnson, Hebert. Using spin images for efficient object recognition in cluttered 3D scenes. *TPAMI*, 21(5), pp. 433—449, 1999.

Histogramm-basierte Deskriptoren: Anwendung

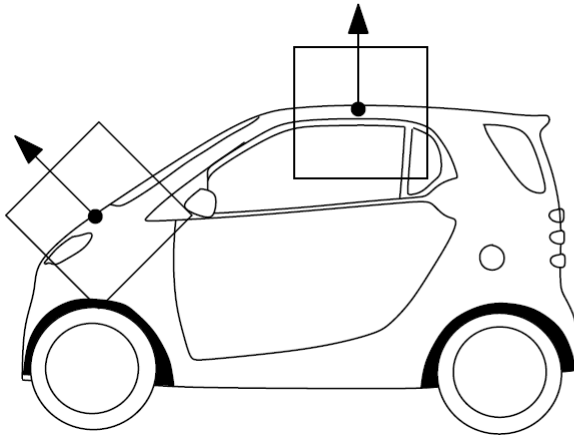
Hyperparameter:

- 1) Referenzachse (reference frame, reference axis)
- 2) Support radius, d.h., Radius der Nachbarschaftssphäre $\mathcal{N}(\mathbf{q}, r)$
- 3) Anzahl der Histogramm-Bins

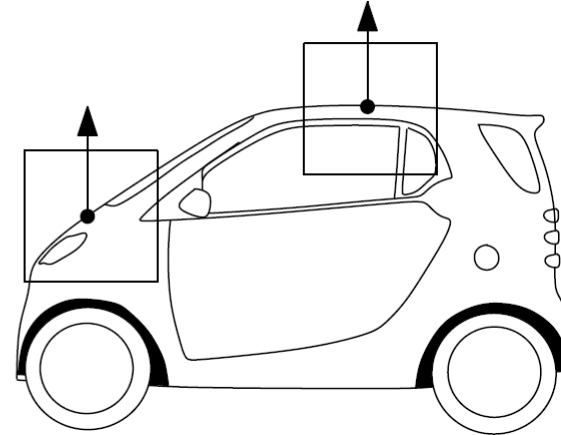


Histogramm-basierte Deskriptoren: Referenzachse

Local Reference Frame



Global Reference Frame

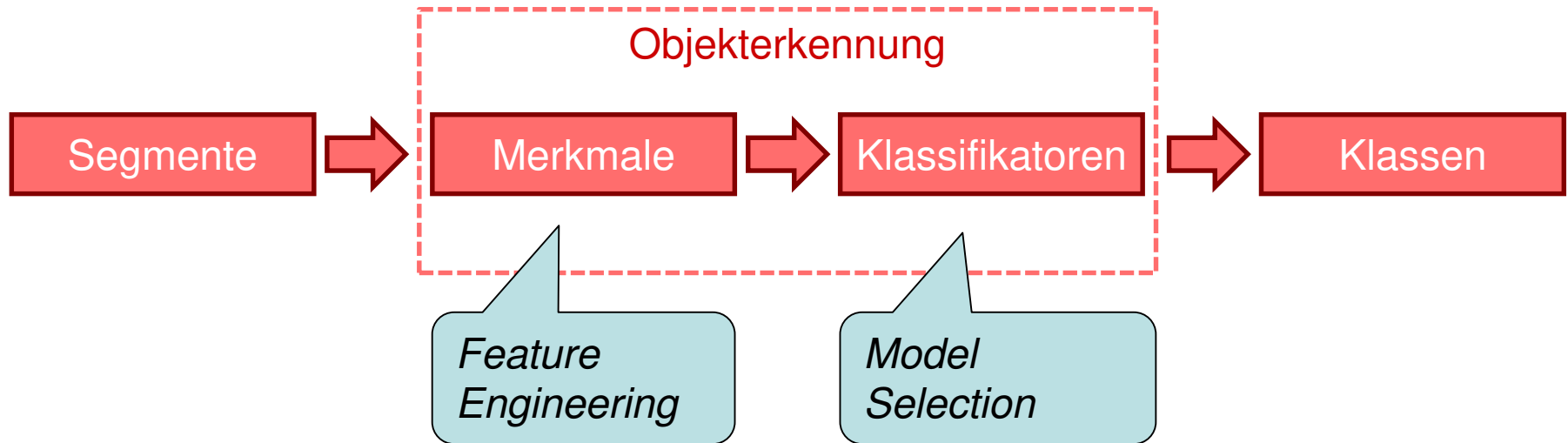


- Wahl ist abhängig von Applikation
- Generell:
 1. Normalenvektor von Anfragepunkt \mathbf{q} (local reference frame)
 2. Festgelegte Referenzachse, z.B., Up-Vector eines Welt-/Szenenkoordinatensystems (global reference frame)

Entwurfsaspekte von Punkteklassifikation & Objekterkennung

Auch bei Punktwolken zeigen sich dieselben zwei Entwurfsaspekte

- (1) **Feature Engineering**: Welche Merkmale/Deskriptoren sind geeignet?
- (2) **Model Selection**: Welches Modell des maschinellen Lernens* ist geeignet?

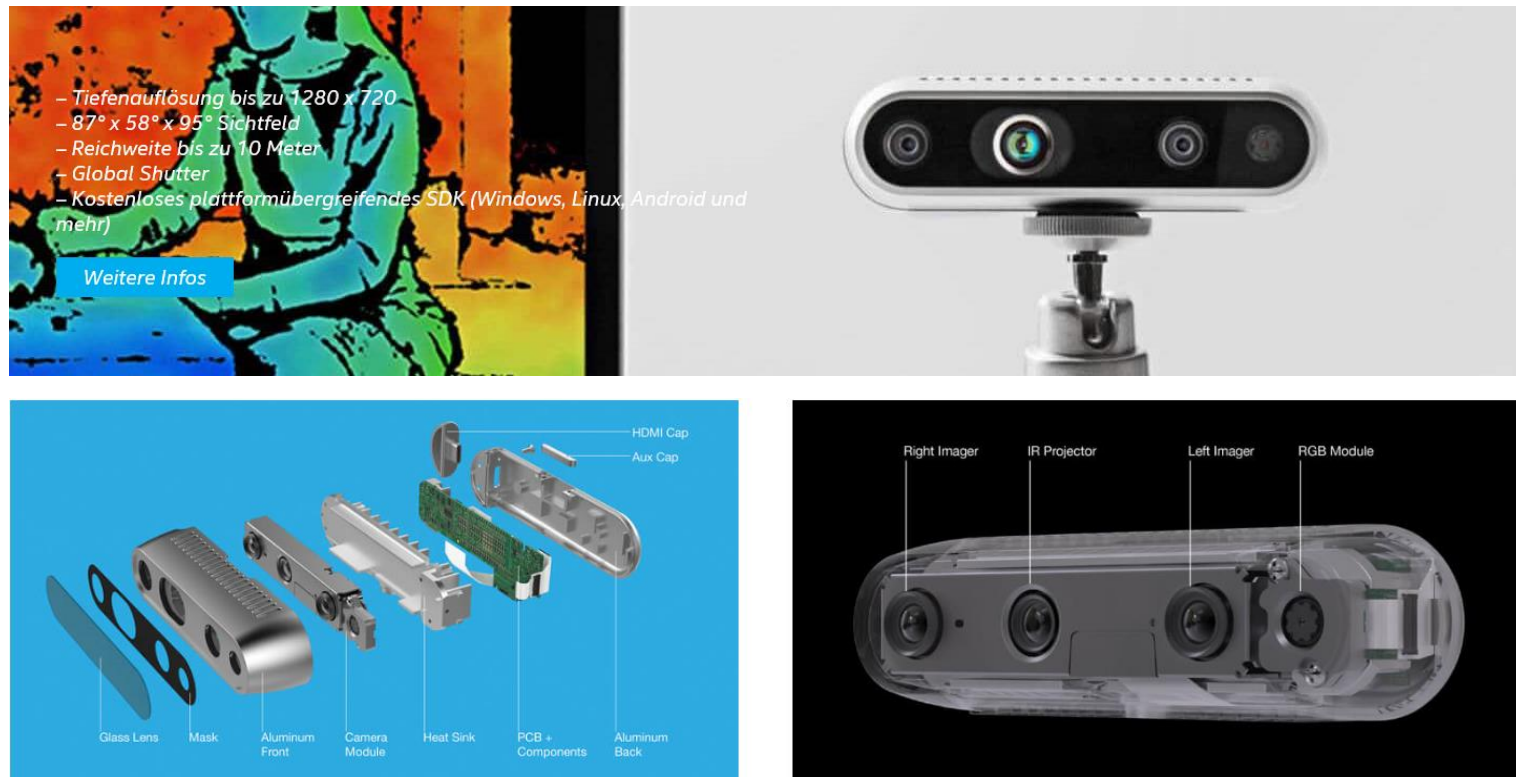


* Siehe Vorlesung „Grundlagen der KI“: Lernverfahren, Hyperparameter, etc. (SVM, LDA, Boosting, KNN, Clustering, ...)

RGB-D-Bilder: RealSense

Verschiedene Sensoren erlauben auch die kombinierte Erfassung von Farb- und Tiefeninformation zu RGB-D-Bildern oder RGB-D-Punktwolken

- RealSense 435 Stereokamera



Bildquelle: <https://www.intelrealsense.com/de/promo-depth-camera-d435/> (10.01.2020)

RGB-D-Punktwolken: Artec Space Spider



- Genauigkeit bis zu 50 Mikrometern
- Auflösung bis zu 100 Mikrometern

Bildquelle: <https://www.artec3d.com/de/portable-3d-scanners/artec-spider>



3D Pointclouds, left to right: Dornfelder, Calardis Blanc, Pinot Noir and Riesling grape bunch

Zusammenfassung (1)

- Zur Objekterkennung und Szenenrekonstruktion sind 3D-Laserabstandsdaten die Wahl als aktive Sensoren für Outdoor-Szenarien.
- Lasersensoren messen Distanzen durch Laufzeitmessung der emittierten Strahlen (*time of flight*, TOF)
- Lasersensoren erzeugen i.A. 3D-Punktwolken als ungeordnete Menge von 3D-Punkten. Damit wird die Suche nach nächsten Nachbarn von Anfragepunkten aufwändig.
- Für die effiziente Suche nach nächsten Nachbarn werden Partitionierungen des 3D-Raums eingesetzt um schnell irrelevante Raumanteile für Anfragen zu identifizieren (*pruning*)
- k -dimensionale Bäume erlauben die Suche nach nächsten Nachbarn in sublinearer Zeitkomplexität
- Zur Charakterisierung von Punkten einer 3D-Punktwolke werden histogrammbasierte 3D-Deskriptoren verwendet

Zusammenfassung (2)

- Zur Berechnung von 3D-Deskriptoren und für andere Aufgaben sind häufig Normalenektoren von Punkten zu schätzen, indem eine lokale Ebenenapproximation durchgeführt wird
- 3D-Punktwolken sind auch durch optische Triangulationsverfahren ableitbar mit dem Vorteil auch Farbinformation für die Punkte vorzuhalten \leadsto RGB-D-Punktwolken
- Zur Klassifikation von Punkten und der Objekterkennung in Punktwolken werden auch Ansätze von *Deep Learning* eingesetzt *

* Liu W, Sun J, Li W, Hu T, Wang P. Deep Learning on Point Clouds and Its Application: A Survey. Sensors (Basel). 2019;19(19):4188. Published 2019 Sep 26. doi:10.3390/s19194188